

doi: 10.13241/j.cnki.pmb.2015.16.019

# 非 ST 段抬高急性冠脉综合征患者心衰程度与血浆 IL-15 水平的相关性研究 \*

王 磊<sup>1,2</sup> 李军农<sup>2</sup> 尤 菲<sup>1</sup> 张亚敏<sup>1</sup> 袁 铭<sup>1△</sup> 郭文怡<sup>1△</sup>

(1 第四军医大学西京医院心内科 陕西 西安 710000;2 陕西省渭南市中心医院心内科 陕西 渭南 714000)

**摘要目的:**分析非 ST 段抬高急性冠脉综合征(NSTE-ACS)患者心衰程度与血浆 IL-15 水平的相关性及其临床意义。**方法:**选择 NSTE-ACS 不伴心衰及 NSTE-ACS 伴心衰住院患者 154 例, 对照组为冠脉造影排除冠心病诊断者 20 例。冠脉造影前, 采用 ELISA 法测定和比较各组的血浆 IL-15 水平, 通过 pearson 相关检验分析血浆 IL-15 水平与 NSTE-ACS 患者心衰程度的相关性; 散点图及拟合曲线观察血浆 IL-15 水平与 NSTE-ACS 患者心衰程度的关系; 多元线性回归对差异变量进行调整, 进一步明确血浆 IL-15 水平与 NSTE-ACS 患者心衰程度的关系。**结果:**NSTE-ACS 不伴心衰组和 NSTE-ACS 伴心衰组患者的血清 IL-15 水平均显著高于正常对照组( $P<0.01$ ); 且 NSTE-ACS 伴心衰组的患者血清 IL-15 水平较 NSTE-ACS 不伴心衰组患者显著升高, 差异具有显著统计学意义( $P<0.01$ )。Pearson 检验结果显示血浆 IL-15 水平与 EF 值呈负相关( $r=-0.775$ ), 与血清 BNP 水平呈正相关( $r=0.474$ ); 散点图显示 IL-15 能与 EF 值线性拟合, 呈负相关; 散点图显示 IL-15 与血清 BNP 水平线性拟合, 呈正相关; 多元线性回归调整差异变量, 明确 IL-15 与 EF 值( $\beta=-0.295$ )呈显著相关。**结论:**NSTE-ACS 患者的血浆 IL-15 水平与其心衰严重程度呈正相关。

**关键词:**非 ST 段抬高急性冠脉综合症; 心衰; 白介素 15; 脑尿钠肽; EF 值

**中图分类号:**R541.4 **文献标识码:**A **文章编号:**1673-6273(2015)16-3077-05

## Correlative Research on the Degree of Heart Failure in Patients with Non-ST-segment Elevation Acute Coronary Syndrome with IL-15 in Plasma\*

WANG Lei<sup>1,2</sup>, LI Jun-nong<sup>2</sup>, YOU Fei<sup>1</sup>, ZHANG Ya-min<sup>1</sup>, YUAN Ming<sup>1△</sup>, GUO Wen-yi<sup>1△</sup>

(1 The Cardiology Department of Xijing Hospital, Xi'an, Shaanxi, 710000, China;

2 The Cardiology Department of Weinan Central Hospital, Weinan, Shaanxi, 714000, China)

**ABSTRACT Objective:** To analyze the correlation of IL-15 and degree of heart failure in non st-elevation acute coronary syndromes (NSTE-ACS) patients and its clinical significance. **Methods:** Before coronary angiography, the level of serum IL-15 level was measured in control (20 patients) and NSTE-ACS patients with or without heart failure (154 patients) by sandwich ELSIA, meanwhile, heart failure indicator(serum BNP level and EF) were measured; The relationship between IL-15 and heart failure indicator(serum BNP level and EF) was analyzed by pearson correlation coefficient test and linear fitting; Further verifying the serum IL-15 level with heart failure through adjusting variables by Multiple linear regression. **Results:** The levels of serum IL-15 in NSTE-ACS patients with or without heart failure were significantly higher than that of the control group ( $P<0.01$ ). Also, the level of serum IL-15 in NSTE-ACS patients with heart failure was significantly higher than that of NSTE-ACS patients without heart failure( $P<0.01$ ). Pearson correlation coefficient test( $r=-0.775$ ) and linear fitting showed a negative relation between IL-15 and EF; Pearson correlation coefficient test ( $r=0.474$ ) and linear fitting showed a positive relation between IL-15 and BNP; Multiple linear regression adjust variables, where there was difference between the groups, also demonstrated that the levels of IL-15 had negative correlation with EF ( $\beta=-0.295$ ). **Conclusions:** There was a close correlation between serum IL-15 level and stage of heart failure in NSTE-ACS patients.

**Key words:** NSTE-ACS; Heart failure; IL-15; BNP; EF

**Chinese Library Classification(CLC):** R541.4 **Document code:** A

**Article ID:** 1673-6273(2015)16-3077-05

### 前言

冠心病是目前我国最常见的血管疾病<sup>[1]</sup>, 非 ST 段抬高急性冠状动脉(冠脉)综合征 (non-ST-segment elevation acute

\* 基金项目:国家自然科学基金青年科学基金项目(81200189)

作者简介:王磊(1984-),男,硕士研究生,主要研究方向:冠心病及心力衰竭的临床诊治,E-mail: weder@sina.com

△通讯作者:郭文怡(1960-),女,硕士生导师,教授,主要研究方向:冠心病介入治疗的临床和研究,

E-mail:guowenyi@tom.com,电话:029-84771043;

袁铭(1973-),女,硕士生导师,副教授,主要研究方向:高血压机制研究及冠心病临床研究,

E-mail:yuanming@fmmu.edu.cn,电话:029-84771043

(收稿日期:2015-01-10 接受日期:2015-01-30 )

coronary syndrome, NSTE-ACS) 包括不稳定型心绞痛(unstable angina, UA)和非 ST 段抬高型心肌梗死(NSTEMI), 是临幊上最常见的冠心病类型之一<sup>[2]</sup>, 其并发症多、病死率高<sup>[3]</sup>。NSTE-ACS 的病理基础为不稳定斑块, 其突出的特点是巨噬细胞和单核细胞等在血管壁的浸润<sup>[4,5]</sup>, 并且分泌一系列的细胞因子使斑块加重<sup>[6]</sup>。其中, 单核细胞及巨噬细胞分泌的 IL-15 能促进 T 细胞增殖并使其聚集在血管内皮, 促进其他多种炎性细胞参与斑块内的炎性反应, 从而参与 NSTE-ACS 的发生及病理进程<sup>[7]</sup>。研究发现, 与正常人相比较, ACS 患者血清 IL-15 的水平显著升高<sup>[8]</sup>。还有研究表明, IL-15 参与心肌和血管病变及心脏功能性调节, 在直接给予 IL-15 静脉注射后, 在短短的 30 分钟后可以引起明显的动脉血压的下降, 同时显著降低心率; IL-15 还能引起血管的收缩反应<sup>[9]</sup>。既然 ACS 患者 IL-15 水平较正常人显著升高, 并发挥负性脉压、负性心率以及血管收缩反应, 我们推测 IL-15 可能会加重 NSTE-ACS 患者心肌的缺血程度, 并参与 NSTE-ACS 患者的心衰进程。本研究主要通过分析 NSTE-ACS 患者的心衰程度与血浆 IL-15 水平有无相关性, 旨在评价 IL-15 在 NSTE-ACS 诊疗中的临床意义。

## 1 对象与方法

### 1.1 对象

选择 2013 年 9 月~2014 年 9 月在西京医院心血管内科住院患者 174 例, 其中男性 116 例, 女性 58 例。将入选的患者分为三组, 正常对照组 20 人, NSTE-ACS 不伴心衰的患者 69 人, NSTE-ACS 合并心衰的患者 85 人。纳入标准: ①符合 2011 欧洲心脏病学会(European Society of Cardiology, ESC)非 ST 段抬高急性冠脉综合征诊断标准; ②伴有心功能不全者 Killip 分级 II~IV 级或 NYHA 分级 II~IV 级; ③入院时查血 BNP>100 pg/ml(正常参考值<100 pg/ml)或者 EF 值<50%。排除标准: ①束支传导阻滞或室内传导阻滞; ②严重肝、肾功能不全患者; ③变异性心绞痛患者; ④血液病患者。

### 1.2 临床资料

对所有患者全面询问病史、体格检查, 收集所有试验组心电图、血压、心率、身高、体重、肌酸肌酶同工酶(CK-MB)、尿素氮(BUN)和肌酐(Cr)等临床资料; 分析入选对象的临床特征、三组之间的基础特征和相关因素无统计学差异(包括性别、年龄、体重指数、吸烟史、高血压、血糖、甘油三酯、总胆固醇等)。对照组、NSTE-ACS 不伴心衰及 NSTE-ACS 伴心衰组患者在缺血发作后 48 小时内, 用彩色多普勒超声诊断仪于胸骨左缘长轴心室舒张末期二维取样、M 型二尖瓣腱索水平测定 EF 值, 同步记录心电图。

### 1.3 研究方法

IL-15 测定: 对照组、NSTE-ACS 不伴心衰及 NSTE-ACS 伴心衰组患者在胸痛发作后 24 小时内采血。采取空腹静脉血 2 mL, 加入无添加剂试管中, 3000 r/min, 离心 5 min 取血浆, 置于 -80°C 冰箱保存, 待标本收集完整后同批测定, 采用 ELISA 法测定 IL-15(pg/ml), IL-15 试剂盒购于美国 Raybiotech 公司。B 型尿钠肽又称脑尿钠肽(Brain natriuretic peptide, BNP)测定: 在患者发病 24 小时内测定血浆 BNP 水平, BNP 采用美国博适(BZOSITE TRIAGOE)BNP 快速定量诊断仪 ELISA 法测定, 具

体操作严格按照试剂盒操作说明执行。

### 1.4 统计学处理

采用 SPSS 10.0 统计软件包进行统计学分析, 数据以均数± 标准差(Mean± SD)表示。多组间计量资料采用单因素方差分析, 相关性分析采用 pearson 相关检验, 线性关系的描述采用散点图并绘制拟合曲线, 多元线性回归分析对差异变量进行调整, 以 P<0.05 表示差异有统计学意义。

## 2 结果

### 2.1 三组的一般情况比较

分别比较正常对照组、NSTE-ACS 不伴心衰组及 NSTE-ACS 伴心衰组患者的年龄、性别、体重指数、吸烟、有无合并高血压、糖尿病、血脂各项指标水平、血清肌酐、血小板计数水平, 结果显示各组间以上指标均无显著性差异(P>0.05), 见表 1。

### 2.2 三组血清 IL-15 水平的比较

NSTE-ACS 不伴心衰组和 NSTE-ACS 伴心衰组患者的血清 IL-15 水平均显著高于正常对照组(P<0.001); 且 NSTE-ACS 伴心衰组的患者血清 IL-15 水平较 NSTE-ACS 不伴心衰组患者显著升高, 差异具有显著统计学意义(P<0.001), 见表 2。

### 2.3 血清 IL-15 水平与 NSTE-ACS 伴心衰患者心衰程度的相关性分析

进一步分析血清 IL-15 水平与 NSTE-ACS 伴心衰患者心衰诊断指标(BNP、EF 值)的相关性。Pearson 相关检验显示 NSTE-ACS 伴心衰患者血清 IL-15 水平与血清 BNP 水平呈显著正相关(R=0.474, P<0.01)(表 3); 而血清 IL-15 水平与 EF 值呈显著负相关(R=-0.775, P<0.01)(表 4)。从相关系数值能判断出血清 IL-15 与 EF 值的相关性较 BNP 大, 提示 IL-15 与 EF 值更为相关。用血清 IL-15 水平与血清 BNP 水平绘制的散点图, 其拟合曲线向上倾斜, 显示 IL-15 与血清 BNP 水平呈正相关关系(图 1); 用血清 IL-15 水平与 EF 值绘制的散点图, 其拟合曲线向下倾斜, 显示 IL-15 与 EF 值呈负相关关系(图 2)。

### 2.4 多元回归分析基线数据中的差异变量与心衰指标 EF 值的关系

我们发现各组基线数据中, 除了 IL-15 有差异外, 血清 CRP 水平、NYHA 分级也有显著性差异(P<0.01)。因此, 我们以 EF 值作为多元线性回归分析的应变量, 分别以 IL-15、血清 CRP 水平和 NYHA 分级为自变量对差异变量进行分析。结果发现血清 CRP 水平( $\beta = -0.449$ )的回归系数较 IL-15( $\beta = -0.383$ )高, 血清 CRP 水平的变化结果与以往的研究一致, 说明 IL-15 与 CRP 一样与 NSTE-ACS 伴心衰的程度相关(EF=75.353-1.044\*CRP-0.348\*IL-15-5.357\*NYHA)(表 5)。

## 3 讨论

近年来, 国内外研究显示 26.4% 非 ST 段抬高急性冠脉综合征患者伴发心力衰竭<sup>[10]</sup>。心力衰竭是 NSTE-ACS 患者最常见及致死性并发症, 老年患者更为普遍, 入院时存在或住院期间发生的心力衰竭均提示预后不良<sup>[11]</sup>。NSTE-ACS 伴心衰的具体发生机制目前存在多种假说, 以炎症反应假说在 NSTE-ACS 伴发心衰的病理过程中起着至关重要的作用<sup>[12]</sup>。

表 1 三组的一般情况比较

Table 1 Comparison of the baseline characteristics between three groups

	Normal control		NSTE-ACS without heart failure		NSTE-ACS with heart failure		P
	Count	%	Count	%	Count	%	
Gender(Male)	13	65%	41	59.4%	62	72.9%	0.206
Smoking	11	55%	26	37.7%	30	36.1%	0.288
Hypertension	8	40%	41	59.4%	38	44.7%	0.122
Diabetes	8	40%	11	15.9%	22	25.9%	0.065
NYHA I	20	100%	69	100%	0	0	
II	0	0	0	0	64	75.3%	0.000
III	0	0	0	0	18	21.2%	
IV	0	0	0	0	3	3.5%	
	Mean	SD	Mean	SD	Mean	SD	P
Age	61.150	10.728	59.116	11.597	58.224	9.755	0.532
BMI	23.362	2.545	24.590	2.778	24.099	2.836	0.197
CRP(mg/ml)	1.367	0.705	2.351	0.632	11.102	6.687	0.000
BNP(pg/ml)	47.851	23.926	166.861	35.392	6857.767	5487.52	0.000
LDL-C(mmol/L)	1.876	0.686	2.314	0.807	2.199	0.736	0.078
HDL-C(mmol/L)	1.113	0.398	1.033	0.391	1.033	0.355	0.670
TG(mmol/L)	1.440	0.965	2.005	1.371	1.580	0.695	0.019
TC(mmol/L)	3.531	0.776	4.019	0.968	3.769	0.896	0.068
SCr(umol/L)	95.300	13.811	89.768	15.636	95.165	16.097	0.086
cTnI(ng/ml)	0.026	0.063	0.196	0.705	0.601	2.206	0.179
CKMB(ng/ml)	1.630	0.810	1.494	0.850	2.713	9.392	0.495

表 2 三组血清 IL-15 水平的比较

Table 2 Comparison of the serum IL-15 levels between different groups

Group	n	IL-15(pg/ml)
Normal control	20	8.878± 5.606
NSTE-ACS without heart failure	69	18.169± 9.718*☆
NSTE-ACS with heart failure	85	40.704± 10.262*

Note: \*P&lt;0.01 vs Normal control; ☆P&lt;0.01 vs.NSTE-ACS with heart failure.

表 3 NSTE-ACS 患者血清 IL-15 水平与 BNP 水平的相关系数表

Table 3 Pearson correlation test between serum IL-15 and BNP levels in NSTE-ACS patients

Index	BNP	IL-15
BNP	1	0.474**
IL-15	0.474**	1

Note: \*\*P&lt;0.01, \* P&lt;0.05.

NSTE-ACS 除了激活传统的炎症因子 (IL-6、TNF- $\alpha$  等) 的表达<sup>[13]</sup>, IL-15 也参与了 ACS 的病理生理过程<sup>[14]</sup>。研究表明, 不稳定的斑块内的单核细胞和巨噬细胞分泌的 IL-15 不仅可以激活

血管内其它相关的炎症细胞(T 细胞、树突状细胞等)<sup>[15,16]</sup>, 还可以促进炎症细胞分泌相关的细胞因子 (如 IFN- $\gamma$  和 TNF- $\alpha$ ), 参与 NSTE-ACS 的病理进程<sup>[17,18]</sup>。更为有趣的是, IL-15 可以直接

表 4 NSTE-ACS 患者血清 IL-15 水平与 EF 值的相关系数表

Table 4 Pearson correlation test between serum IL-15 and EF levels in NSTE-ACS patients

Index	EF	IL-15
EF	1	-0.775**
IL-15	-0.775**	1

Note:\*\*P&lt;0.01, \* P&lt;0.05.

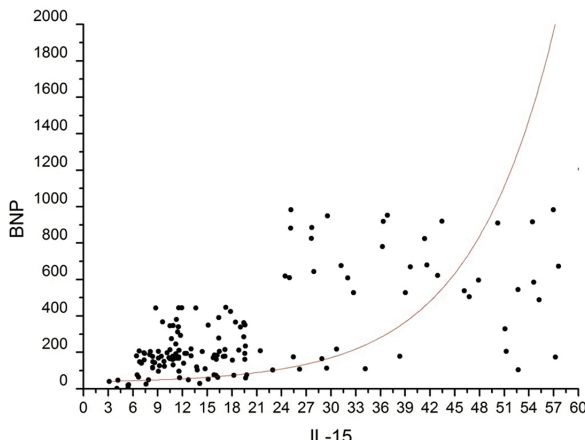


图 1 血清 IL-15 水平与心衰指标 BNP 的关系

Fig.1 Scatter diagram and fitted curve between IL-15 and BNP in NSTE-ACS patients

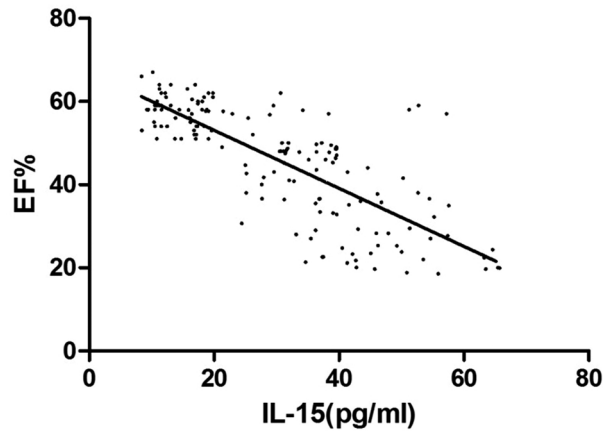


图 2 血清 IL-15 水平与心衰指标 EF 值的关系

Fig.2 Scatter diagram and fitted curve between IL-15 and EF in NSTE-ACS patients

表 5 NSTE-ACS 患者心衰程度影响因素的多元回归分析

Table 5 Multiple regression analysis of heart failure related factors

Variable	Regression coefficient	Standardized regression coefficient	P
CRP	-1.044	-.449	.000
IL-15	-.348	-.383	.000
NYHA	-5.357	-.122	.006
BNP	0.000	-.123	.017

Note: EF is the dependent variable.

调节心脏及血管的舒缩功能<sup>[9]</sup>,提示NSTE-ACS发病过程中分泌的IL-15可能与心力衰竭的发生有关。

本研究中,我们首先分析了正常对照组、NSTE-ACS、NSTE-ACS合并心衰各组的血浆IL-15水平,发现NSTE-ACS合并心衰组患者IL-15的水平最高,而NSTE-ACS不伴心衰组的患者IL-15的水平虽然较正常组高,但是较NSTE-ACS伴心衰组低,提示血浆IL-15水平与NSTE-ACS的发生及并发心衰相关。Pearson相关分析同样显示NSTE-ACS患者的IL-15水平与EF值呈负相关,与BNP水平呈正相关,说明IL-15与NSTE-ACS伴发的心衰程度明显相关。与此相同的结果在散点图及拟合曲线中也得到了证实。在基线数据中,我们发现组间的一些相关因素(CRP、IL-15、NYHA分级和BNP)有统计学差异,为此我们通过多元线性回归分析对自变量进行调整,分别以EF值和BNP值为应变量,发现CPR等传统的炎症相关的变量确实也是与NSTE-ACS所伴发的心衰程度相关,与Scirica等<sup>[19]</sup>的研究结果相符合,IL-15与CRP二者的相关系数相似,更加明确了IL-15与NSTE-ACS所伴发的心衰相互关联的可靠性。

综上所述,NSTE-ACS患者的血浆IL-15水平与其心衰严重程度呈正相关。以往的研究表明IL-15参与了NSTE-ACS的病理进程并对心脏功能产生影响<sup>[20-22]</sup>,那么IL-15的高水平是否是引起NSTE-ACS患者发生心衰的危险因素之一,或是NSTE-ACS心衰患者的伴发现象,在本项研究中并未得到证实,但本研究结果支持IL-15可作为NSTE-ACS伴心衰患者的诊断及判断心衰严重程度的重要预测指标,这对NSTE-ACS伴心衰的临床诊断和疗效预测都有重要的临床应用价值。

#### 参 考 文 献(References)

- Bai J, Zhao W, Xu XY, et al. Correlation between body composition and exercise capacity in patients with coronary heart disease [J]. Journal of Peking University Health sciences, 2014, 46(6): 854-858
- Lim GB. Antiplatelet therapy: No benefit of antiplatelet pretreatment in patients with NSTE-ACS [J]. Nature reviews Cardiology, 2015, 12(1): 4
- Task Force on Myocardial Revascularization of the European Society of C, the European Association for Cardio-Thoracic S, European Association for Percutaneous Cardiovascular I, et al. Guidelines on myocardial revascularization [J]. European heart journal, 2010, 31

- (20): 2501-2555
- [4] Zhou X, Stemme S, Hansson GK. Evidence for a local immune response in atherosclerosis. CD4+ T cells infiltrate lesions of apolipoprotein-E-deficient mice [J]. *The American journal of pathology*, 1996, 149(2): 359-366
- [5] Cohn JN, Ferrari R, Sharpe N. Cardiac remodeling--concepts and clinical implications: a consensus paper from an international forum on cardiac remodeling. Behalf of an International Forum on Cardiac Remodeling[J]. *Journal of the American College of Cardiology*, 2000, 35(3): 569-582
- [6] Morton AC, Rothman AM, Greenwood JP, et al. The effect of interleukin-1 receptor antagonist therapy on markers of inflammation in non-ST elevation acute coronary syndromes: the MRC-ILA Heart Study. *European heart journal*, 2014, 30(7): 15-24
- [7] Wuttge DM, Eriksson P, Sirsjo A, et al. Expression of interleukin-15 in mouse and human atherosclerotic lesions[J]. *The American journal of pathology*, 2001, 159(2): 417-423
- [8] Gokkusu C, Aydin M, Ozkok E, et al. Influences of genetic variants in interleukin-15 gene and serum interleukin-15 levels on coronary heart disease[J]. *Cytokine*, 2010, 49(1): 58-63
- [9] Baker CH, Abel FL. Macro- and microcirculatory effects of IL-15[J]. *Shock*, 1995, 4(4): 307-310
- [10] Bahit MC, Lopes RD, Clare RM, et al. Heart failure complicating non-ST-segment elevation acute coronary syndrome: timing, predictors, and clinical outcomes [J]. *JACC Heart failure*, 2013, 1(3): 223-229
- [11] O'Malley RG, Bonaca MP, Scirica BM, et al. Prognostic performance of multiple biomarkers in patients with non-ST-segment elevation acute coronary syndrome: analysis from the MERLIN-TIMI 36 trial (Metabolic Efficiency With Ranolazine for Less Ischemia in Non-ST-Elevation Acute Coronary Syndromes-Thrombolysis In Myocardial Infarction 36) [J]. *Journal of the American College of Cardiology*, 2014, 63(16): 1644-1653
- [12] Zhang SZ, Jin YP, Qin GM, et al. Association of platelet-monocyte aggregates with platelet activation, systemic inflammation, and myocardial injury in patients with non-st elevation acute coronary syndromes[J]. *Clinical cardiology*, 2007, 30(1): 26-31
- [13] Garcia-Salas JM, Tello-Montoliu A, Manzano-Fernandez S, et al. Interleukin-6 as a predictor of cardiovascular events in troponin-negative non-ST elevation acute coronary syndrome patients [J]. *International journal of clinical practice*, 2014, 68(3): 294-303
- [14] Jin KK, Xu F, Xu LX, et al. Association between polymorphisms of inflammatory factor genes and coronary heart disease [J]. *Chinese journal of medical genetics*, 2012, 29(2): 200-205
- [15] Caramalho I, Nunes-Silva V, Pires AR, et al. Human regulatory T-cell development is dictated by Interleukin-2 and -15 expressed in a non-overlapping pattern in the thymus [J]. *Journal of autoimmunity*, 2015, 56(2):98-110
- [16] Nilsson L, Wieringa WG, Pundziute G, et al. Neutrophil/Lymphocyte ratio is associated with non-calcified plaque burden in patients with coronary artery disease[J]. *PloS one*, 2014, 9(9): e108183
- [17] Dozio E, Malavazos AE, Vianello E, et al. Interleukin-15 and soluble interleukin-15 receptor alpha in coronary artery disease patients: association with epicardial fat and indices of adipose tissue distribution[J]. *PloS one*, 2014, 9(3): e90960
- [18] Fonseca SG, Reis MM, Coelho V, et al. Locally produced survival cytokines IL-15 and IL-7 may be associated to the predominance of CD8+ T cells at heart lesions of human chronic Chagas disease cardiomyopathy [J]. *Scandinavian journal of immunology*, 2007, 66 (2-3): 362-371
- [19] Scirica BM, Cannon CP, Sabatine MS, et al. Concentrations of C-reactive protein and B-type natriuretic peptide 30 days after acute coronary syndromes independently predict hospitalization for heart failure and cardiovascular death [J]. *Clinical chemistry*, 2009, 55(2): 265-273
- [20] van der Meer JJ, de Boer OJ, Teeling P, et al. Smooth muscle homeostasis in human atherosclerotic plaques through interleukin 15 signalling [J]. *International journal of clinical and experimental pathology*, 2011, 4(3): 287-294
- [21] Bergstrom I, Backteman K, Lundberg A, et al. Persistent accumulation of interferon-gamma-producing CD8+CD56+ T cells in blood from patients with coronary artery disease [J]. *Atherosclerosis*, 2012, 224(2): 515-520
- [22] Manna PP, Hira SK, Das AA, et al. IL-15 activated human peripheral blood dendritic cell kill allogeneic and xenogeneic endothelial cells via apoptosis[J]. *Cytokine*, 2013, 61(1): 118-126

(上接第 3108 页)

- [14] Mafi R, Khan W, Mafi P, et al. Orthopaedic Approaches to Proximal Humeral Fractures Following Trauma[J]. *Open Orthop J*, 2014, 31(8): 437-441
- [15] Vachtsevanos L, Hayden L, Desai AS, et al. Management of proximal humerus fractures in adults[J]. *World J Orthop*, 2014, 5(5): 685-693
- [16] Muzaffar N, Bhat K, Ahmad R, et al. Functional Results after Osteosynthesis of Distal Humeral Fractures with Pre-contoured LCP System[J]. *Ortop Traumatol Rehabil*, 2014, 16(4): 381-385
- [17] Buturovic S, Krupic F. Comparison of treatment results for fractures of the distal humerus in children according to the indication for

- conservative or surgical solution [J]. *Mater Sociomed*, 2014, 26(4): 242-245
- [18] Sangkomkamhang T, Singjam U, Leepakobboon D. Risk factors for loss of fixation in pediatric supracondylar humeral fractures[J]. *J Med Assoc Thai*, 2014, 97(Suppl 9): S23-28
- [19] Sharma P, Meena S, Rastogi D, et al. A case of posterior shoulder dislocation with ipsilateral humeral shaft fracture[J]. *Ann Med Health Sci Res*, 2014, 4(Suppl 3): S314-316
- [20] Choo A, Sobol G, Maltenfort M, et al. Prevalence of rotator cuff tears in operative proximal humerus fractures [J]. *Orthopedics*, 2014, 37 (11): e968-974